

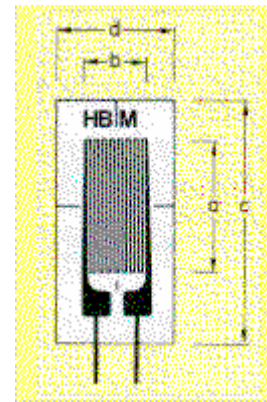
# Nedostaci i ograničenja u primjeni mehaničkih tenzometara

- » Moguća su samo statička mjerena
- » Potrebno je osiguranje jakih sila pričvršćenja instrumenata
- » Uzorak mora biti fiksiran s obzirom na promatrača
- » Ograničenja u svezi dimenzija ispitivanog uzorka
- » Relativno velika mjerna baza
- » Nije moguć automatski zapis mjernih rezultata.

# ELEKTRO-OTPORNI TENZOMETRI (METAL STRAIN GAGE)

- » *Charles Wheatstone* (1843) : promjena električnog otpora provodnika uslijed mehaničkih naprezanja;
- » *William Thomson* (1856)
- » *Lord Kelvin* (1892)
- » ARTHUR CLAUDE RUGE (1940) - patentirao mjerne trake kakve danas poznajemo.
- » PRINCIP RADA :

$$\frac{dR}{R_0} = \varepsilon (1 + 2\nu) + \frac{d\rho}{\rho}$$



promjena geometrije

promjena u mikrostrukturi

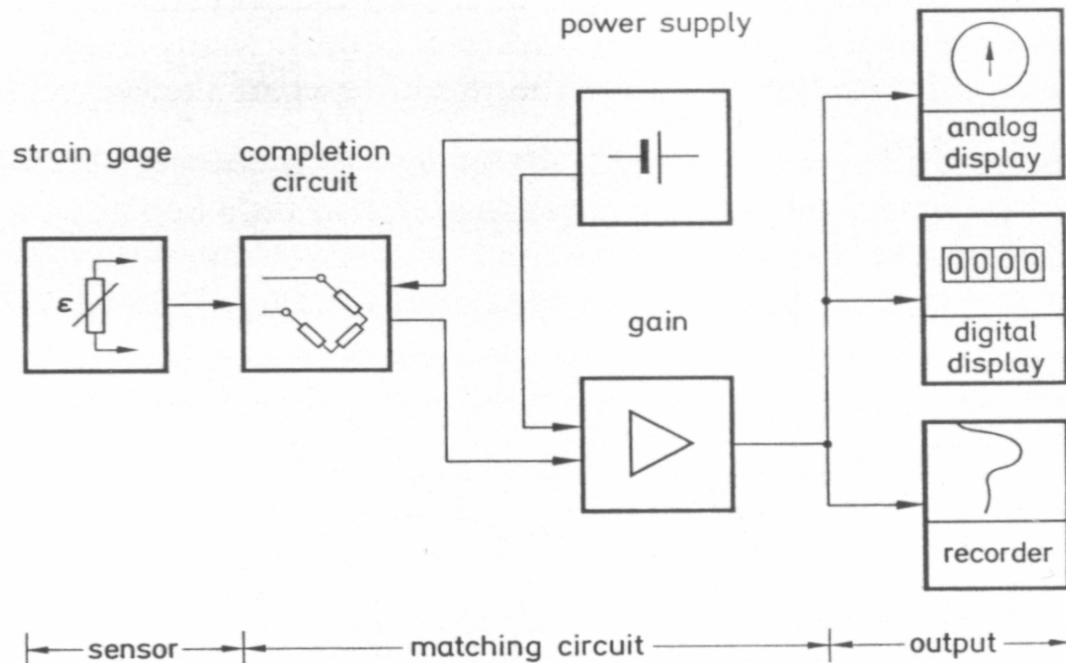
# VRSTE I PRIMJENA MJERNIH TRAKA

- » metalne mjerne trake
- » poluprovodničke mjerne trake
- » “thin film” mjerne trake
- » kapacitativne mjerne trake
- » piezoelektrične mjerne trake
- » fotoelastične mjerne trake
- » mehaničke mjerne trake.

## PRIMJENA :

- » eksperimentalna analiza naprezanja, modelska ispitivanja (mjerne trake označke Y, ulančane mjerne trake, rozete)
- » izrada prijenosnika (transducer) - mjerne trake označke G i K.

# MJERNI SUSTAV



- » Mjerna traka (strain gage) - pretvara mehaničku deformaciju u promjenu električnog otpora
- » mjerni strujni krug (Wheatstoneov most) - promjena ravnoteže
- » pojačalo - povećava izlazni napon mjernog kruga
- » display - pretvara izlazni signal u željeno očitanje.

# IZBOR MJERNE TRAKE

- » Velik broj različitih oblika i veličina mjernih traka rezultat je njihove prilagodbe različitim problemima.
- » Kriteriji izbora odgovarajuće vrste i oblika mjernih traka:
  - » duljina mjerne trake (0.6mm - 150mm)
    - » homogena polja deformacije
    - » nehomogena polja deformacije (mjerimo srednju vrijednost deformacije ispod mjerne trake)
    - » stanje dinamičkih deformacija
  - » višestruke mjerne trake (dvostrukе, ulančane, rozete) - visoka preciznost međusobnog razdvajanja i orijentacije pojedinih mjernih traka, manje posla oko pričvršćenja za podlogu, izbjegavanje postavljanja velikog broja pojedinačnih mjernih traka
    - » ulančane mjerne trake za određivanje gradijenta naprezanja
    - » rozete za određivanje uvjeta stanja naprezanja (X rozete-dvije trake pod kutom od  $90^\circ$  (L,T,V), R rozete-tri trake koje se sijeku pod kutom  $0^\circ/45^\circ/90^\circ$  (desna rozeta), R rozete-tri trake koje se sijeku pod kutom  $0^\circ/60^\circ/120^\circ$  (delta rozeta))
    - » rozete za ispitivanje rezidualnih naprezanja

# TEHNIČKI PODACI

## » OSJETLJIVOST MJERNE TRAKE (GAGE FACTOR)

$$k = \frac{\Delta R/R_0}{\Delta l/l_0} = \frac{\Delta R/R_0}{\varepsilon}$$

constantan (57%Cu,43%Ni) : k=2.05

karma (73%Ni,20%Cr,Fe,Al) : k=2.1

nichrome V (80%Ni,20%Cr) : k=2.2

## » POPREČNA OSJETLJIVOST MJERNE TRAKE

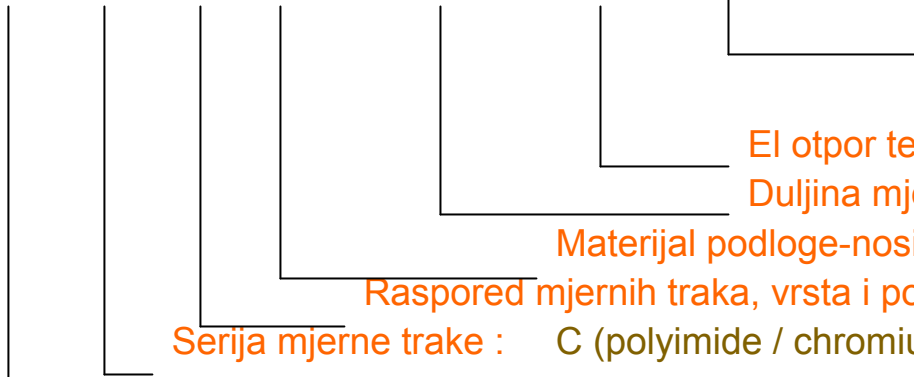
» promjena otpora uslijed deformacije okomito na "aktivni" smjer

$$q = \frac{k_t}{k_l}$$

## » UTJECAJ TEMPERATURE NA POSTAVLJENU MJERNU TRAKU

## Objašnjene oznaka elektrootpornih tenzometara

L Y 1 1 - 3 / 120 A



dodatna oprema : A - pričvršenje  
V, Z - spajanje

El otpor tenzometra (Ohm)

Duljina mjerne trake (mm)

Materijal podloge-nositelja mjerne trake (1,3,5,6,7,8,9)

Raspored mjernih traka, vrsta i položaj spajala (1,2,3,4,5,6,7,8,9)

Serija mjerne trake : C (polyimide / chromium/nickel alloy)

Y (polyimide / constantan)

G (glass-fibre reinforced phenolic resin / constantan)

K (glass-fibre reinforced phenolic resin / constantan)

V (polyimide / constantan)

Broj mjernih traka  
i njihov međusobni položaj :

L - jedna merna traka, linearni tenzometar

D - dvije mjerne trake, paralelno

X - dvije mjerne trake, pod kutem od 90° : T ili X oblika

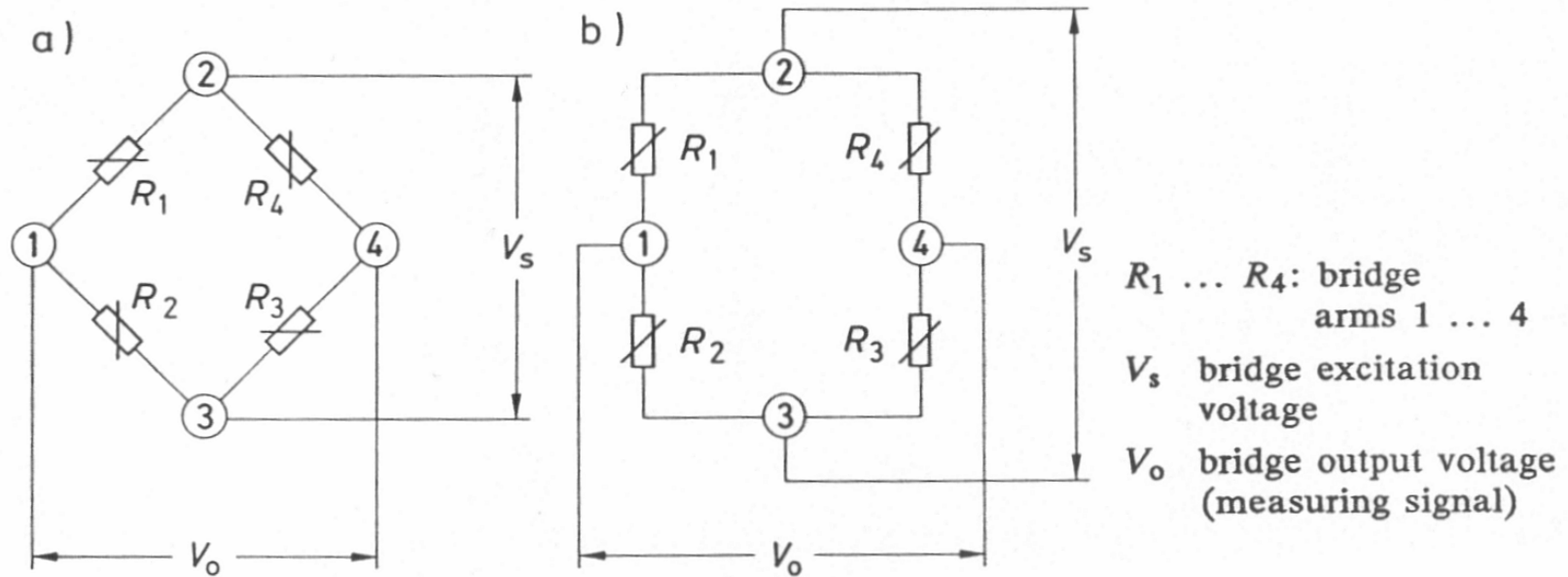
R - tri mjerne trake - rozete

V - četiri mjerne trake, puni merni most

M - puni merni most - rozeta dijafragma

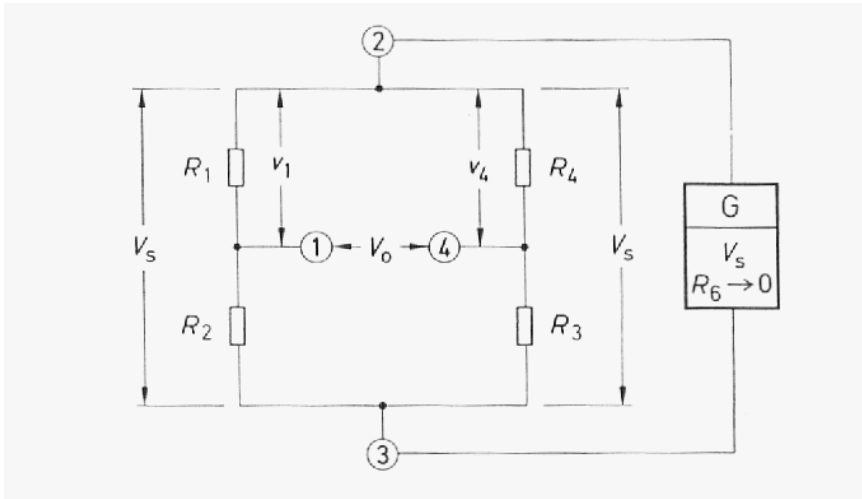
K - lanac tenzometara za određivanje gradijenta deformacija.

# WHEATSTON-ov MOST



- » Mogućnost točnog mjerena električnog otpora
- » most se može koristiti na dva načina :
  - » određivanje absolutne veličine otpora usporedbom s poznatim otporom
  - » određivanje relativne promjene otpora ( $10^{-4} - 10^{-2} \Omega/\Omega$ ).

# PRINCIP RADA WHEATSTONE-ovog MOSTA



$$v_1 = \frac{R_1}{R_1 + R_2} \cdot V_s, \quad v_2 = \frac{R_4}{R_3 + R_4} \cdot V_s$$

$$V_0 = V_s \left( \frac{R_1}{R_1 + R_2} - \frac{R_4}{R_3 + R_4} \right) = V_s (v_1 - v_2)$$

- » Dva su slučaja za koje je  $V_o=0$  (most je uravnotežen) :
  - $R_1 = R_2 = R_3 = R_4 = R$
  - $R_1/R_2 = R_4/R_3$  .

$$\frac{V_0}{V_s} = \frac{1}{4} \left( \frac{\Delta R_1}{R_1} - \frac{\Delta R_2}{R_2} + \frac{\Delta R_3}{R_3} - \frac{\Delta R_4}{R_4} \right)$$

$$\frac{\Delta R}{R} = k \cdot \varepsilon$$

$$\frac{V_0}{V_s} = \frac{k}{4} (\varepsilon_1 - \varepsilon_2 + \varepsilon_3 - \varepsilon_4)$$

# OBLICI WHEATSTONE-ovog MOSTA KOJI SE PRIMJENJUJU U TEHNICI MJERNIH TRAKA

external circuit      completion circuit

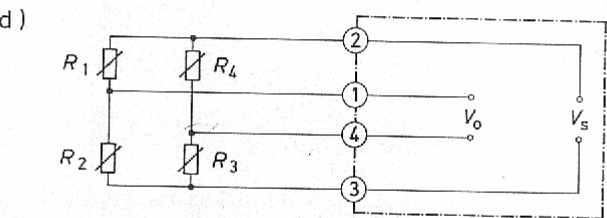
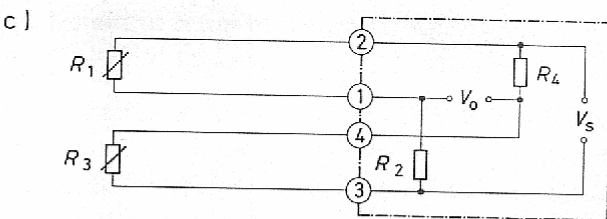
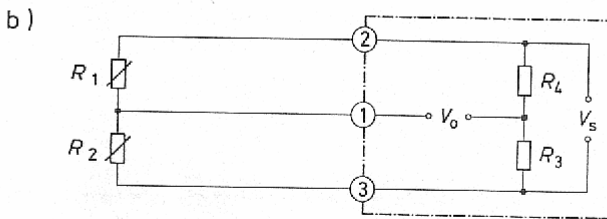
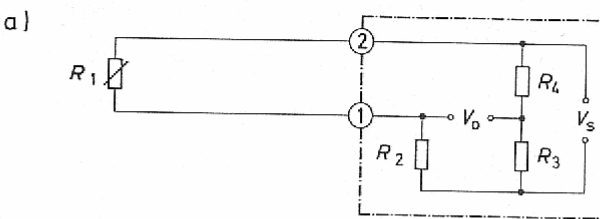
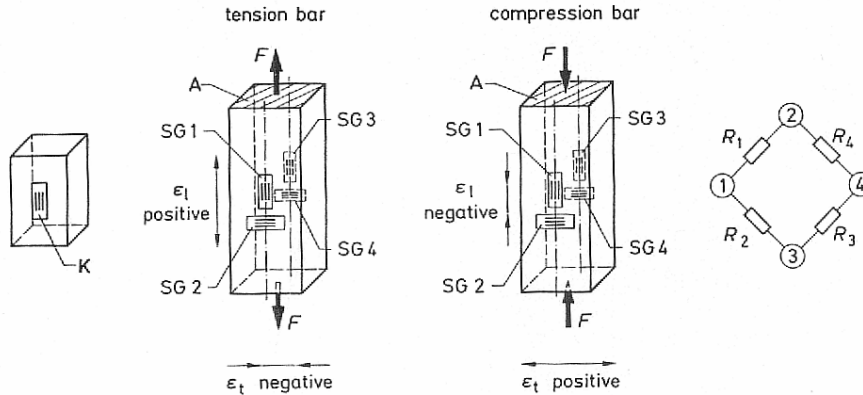


Fig. 5.2-2: Forms of the Wheatstone bridge circuit used in strain gage techniques  
 a) quarter bridge  
 b) half bridge  
 c) double quarter or diagonal bridge  
 d) full bridge

# MJERENJE DEFORMACIJA I ANALIZA NAPREZANJA ZA RAZLIČITE SLUČAJEVE OPTEREĆENJA



K = compensating strain gage on a mechanically unloaded part (see section 7.1-3)

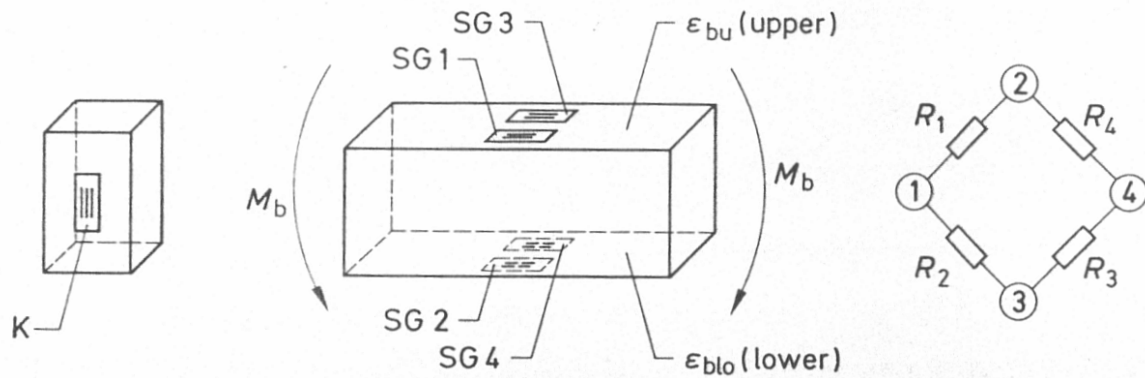
Bridge arm	$R_1$	$R_2$	$R_3$	$R_4$	Result	Notes
Bridge equation	$\epsilon_1 - \epsilon_2 + \epsilon_3 - \epsilon_4 = \epsilon_i$					1
Simple quarter bridge	SG1	$R_C$	$R_C$	$R_C$	$\epsilon_i = \epsilon_l$	2
Quarter bridge with comp. strain gage	SG1	K	$R_C$	$R_C$	$\epsilon_i = \epsilon_l$	3
Half bridge	SG1	SG2	$R_C$	$R_C$	$\epsilon_i = \epsilon_l + \epsilon_q = (1+\nu) \cdot \epsilon_l$	4
Diagonal bridge	SG1	$R_C$	SG3	$R_C$	$\epsilon_i = 2 \cdot \epsilon_l$	5
Diagonal bridge with 2 comp. strain gages	SG1	K	SG3	K	$\epsilon_i = 2 \cdot \epsilon_l$	6
Full bridge	SG1	SG2	SG3	SG4	$\epsilon_i = 2(\epsilon_l + \epsilon_q) = 2(1+\nu)\epsilon_l$	7

## Napomene u vezi s prethodnom tablicom

- 1 Obratiti pozornost na promjene predznaka u jednadžbi te predznaka deformacija.
- 2 Rezultat su superponirane deformacije pri savijanju. Toplinske deformacije treba eliminirati s temperaturno-kompenzirajućim trakama; suprotno dolazi do pogreške u mjerenu.  $\sigma_1 = \sigma_n + \sigma_b = \varepsilon_i \cdot E$
- 3 U odnosu na slučaj 2, toplinske se deformacije kompenziraju i u slučajevima kada koef. toplinske dilatacije materijala odstupa od standardnih vrijednosti za temperaturno-kompenzirajuće trake te kada se premaši područje kompenziranja mjerne trake.
- 4 Rezultat su superponirane deformacije pri savijanju. Toplinske su deformacije vrlo dobro kompenzirane.  $\sigma_1 = \sigma_n + \sigma_b = \frac{\varepsilon_i \cdot E}{1+v}$
- 5 Kod simetričnih presjeka, deformacije pri savijanju su kompenzirane. Toplinske deformacije treba eliminirati s temperaturno-kompenzirajućim trakama; suprotno dolazi do pogreške u mjerenu.
- 6 Postupak poput 5, kompenzacija toplinskih deformacija kao u 3.
- 7 Kod simetričnih presjeka, deformacije pri savijanju su kompenzirane. Toplinske su deformacije vrlo dobro kompenzirane.



$$\sigma_n = \frac{\varepsilon_i \cdot E}{2(1+v)}; \quad F = \frac{\varepsilon_i \cdot E}{2(1+v)} \cdot A$$



Bridge arm	$R_1$	$R_2$	$R_3$	$R_4$	Result	Notes
Bridge equation	$\epsilon_1 - \epsilon_2 + \epsilon_3 - \epsilon_4 = \epsilon_i$				1	
Simple quarter bridge	SG1	$R_C$	$R_C$	$R_C$	$\epsilon_i = \epsilon_{bu}$	2
	SG2	$R_C$	$R_C$	$R_C$	$\epsilon_i = \epsilon_{blo}$	
Quarter bridge with comp. strain gage	SG1	K	$R_C$	$R_C$	$\epsilon_i = \epsilon_{bu}$	3
	SG2	K	$R_C$	$R_C$	$\epsilon_i = \epsilon_{blo}$	
Half bridge	SG1	SG2	$R_C$	$R_C$	$\epsilon_i = 2 \epsilon_b$	4
Diagonal bridge	SG1	$R_C$	SG3	$R_C$	$\epsilon_i = 2 \epsilon_{bu}$	5
	SG2	$R_C$	SG4	$R_C$	$\epsilon_i = 2 \epsilon_{blo}$	
Diagonal bridge with 2 comp. strain gages	SG1	K	SG3	K	$\epsilon_i = 2 \epsilon_{bu}$	6
	SG2	K	SG4	K	$\epsilon_i = 2 \epsilon_{blo}$	
Full bridge	SG1	SG2	SG3	SG4	$\epsilon_i = 4 \epsilon_b$	7

## Napomene u vezi s prethodnom tablicom

- 1 Obratiti pozornost na promjene predznaka u jednadžbi te predznaka deformacija.
- 2 Rezultat su superponirane deformacije pri savijanju. Toplinske deformacije treba eliminirati s temperaturno-kompenzirajućim trakama; suprotno dolazi do pogreške u mjerenu.  $\sigma = \sigma_b + \sigma_n = \varepsilon_i \cdot E$
- 3 U odnosu na slučaj 2, toplinske se deformacije kompenziraju i u slučajevima kada koef. toplinske dilatacije materijala odstupa od standardnih vrijednosti za temperaturno-kompenzirajuće trake te kada se premaši područje kompenziranja mjerne trake.
- 4 Superponirane uzdužne deformacije se kompenziraju. Toplinske su deformacije vrlo dobro kompenzirane.  
$$\sigma_b = \frac{1}{2} \varepsilon_i \cdot E; \quad M_b = \sigma_b \cdot W$$
- 5 U rezultatu sudjeluju superponirane uzdužne deformacije. Toplinske deformacije treba eliminirati s temperaturno-kompenzirajućim trakama; suprotno dolazi do pogreške u mjerenu.  
$$\sigma = \sigma_b + \sigma_n = \frac{1}{2} \varepsilon_i \cdot E$$
- 6 Postupak poput 5, kompenzacija toplinskih deformacija kao u 3.
- 7 Kod simetričnih presjeka, uzdužne deformacije su kompenzirane. Toplinske su deformacije vrlo dobro kompenzirane.  
✓  
$$\sigma_b = \frac{1}{4} \varepsilon_i \cdot E$$